

中国科学院高能物理研究所
Institute of High Energy Physics Chinese Academy of Sciences

ATLAS HGTD探测器进展和 LGAD技术在未来电子对撞机的应用

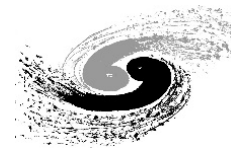
李梦朝 梁志均 赵梅 孙唯益 樊云云 杨轩

On behalf of IHEP LGAD group

中国科学院高能物理研究所

2024 年7月8日 · 兰州大学

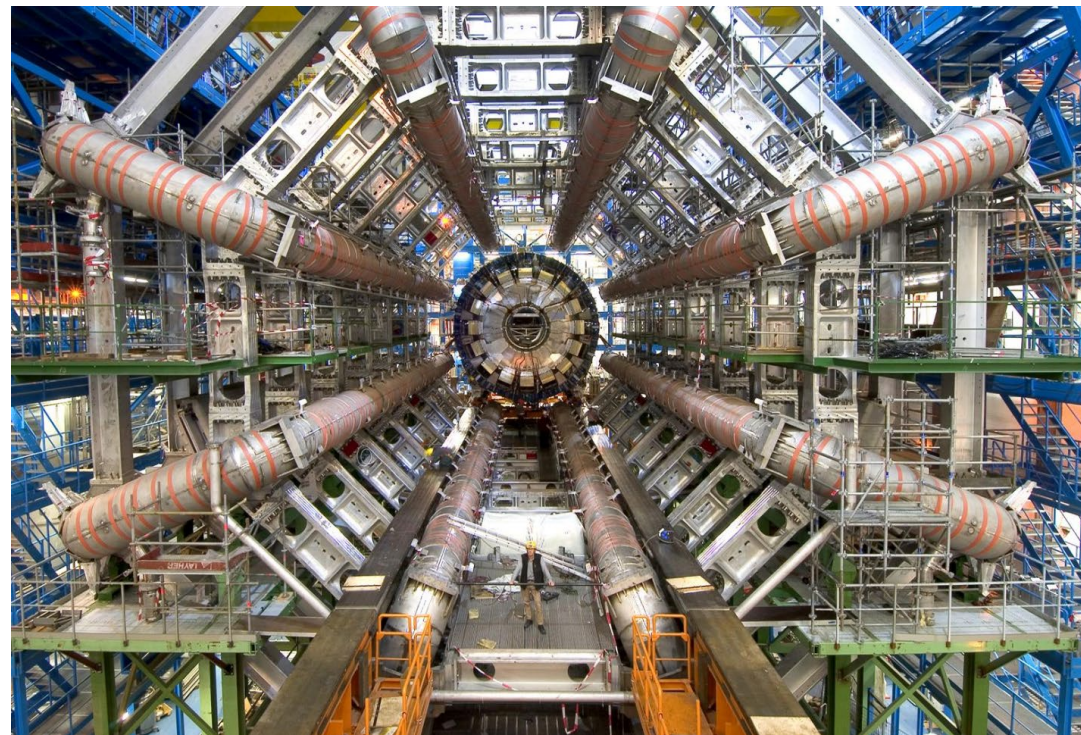
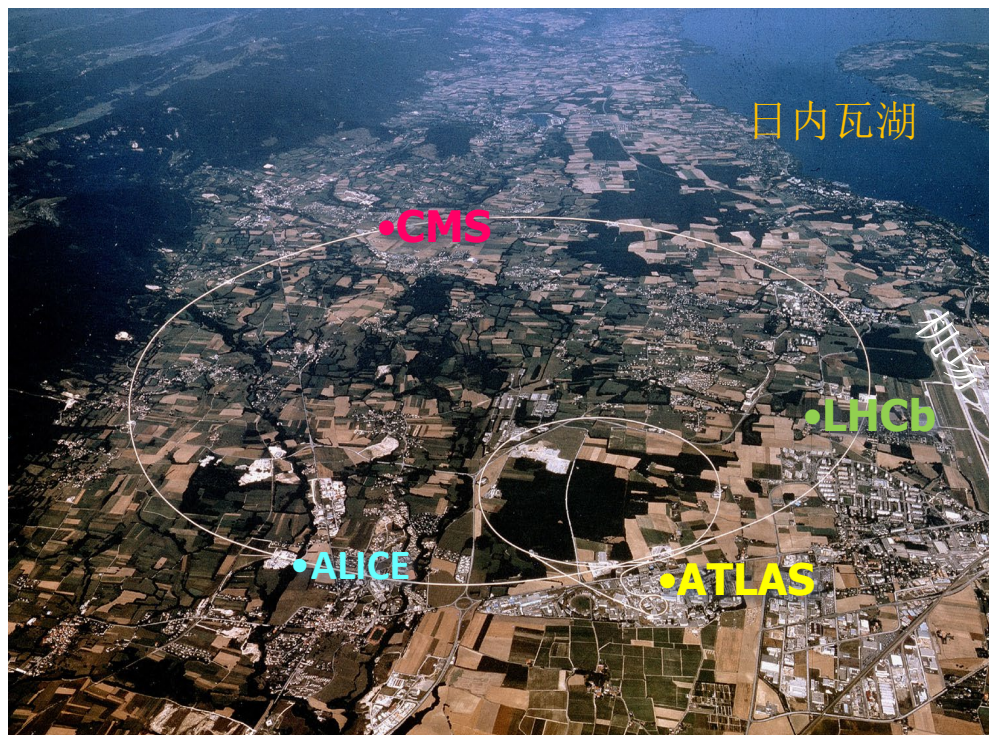
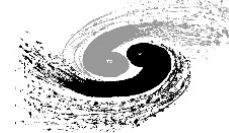
email: mzli@ihep.ac.cn



主要内容

1. ATLAS HGTD 探测器进展

2. LGAD 技术在对撞机实验的应用



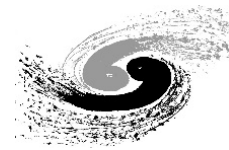
大型强子对撞机LHC

- 周长**27km**，总投资**40亿美元**
- 世界能量**最高**的加速器
- 质心系能**14TeV** ($14 \times 10^{12} \text{eV}$)
- 位于瑞士与法国边境

ATLAS探测器

- 大约**3000人**的一个实验组
- **6层楼高** (**25米**) 的大型探测器
- 探测对撞产生粒子能量与动量

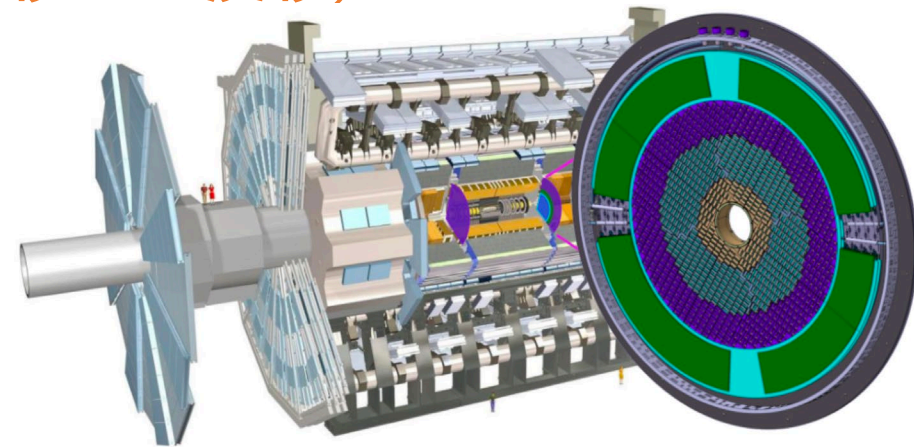
2029年升级为高亮度LHC (HL-LHC) → 事例堆积、强辐照环境



➤ 把粒子到达时间的测量精度提高2个数量级 (数纳秒→30皮秒)

ATLAS探测器

➤ 解决高亮度LHC对撞事例堆积问题



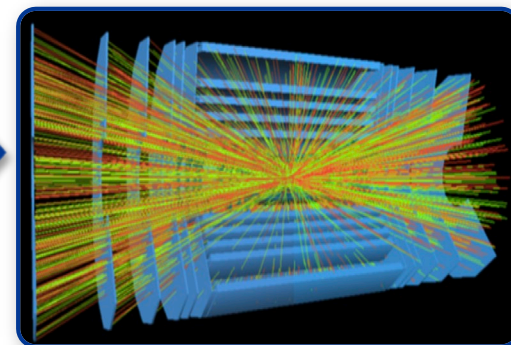
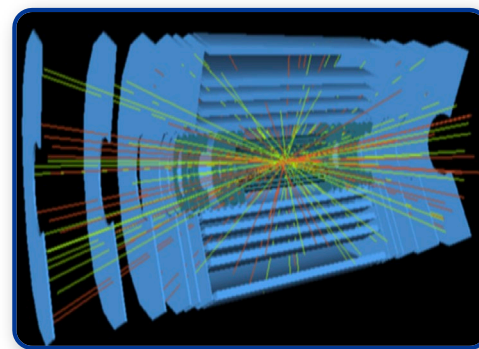
- LGAD (Low-Gain Avalanche Diode)
- 6.4平方米的硅探测器, 30皮秒的时间分辨
- 毫米级的颗粒度, 超过3.6M读出通道
- 能承受 $2.5 \times 10^{15} n_{eq}/cm^2$ 的等效中子通量的辐照

➤ 中国组主导ATLAS HGTD探测器研制

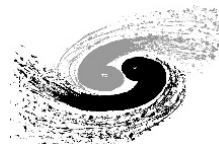
目前的ATLAS探测器

- 45%探测器组装 (34% 高能所, 11%科大)
- 100%抗辐照高时间分辨LGAD传感器
(90% 高能所-微电子所, 10%科大-微电子所)
- 100%前端电子学 (高能所, 南大),
- 50% ASIC测试, >16% 高压电子系统

高亮度LHC升级后的ATLAS探测器

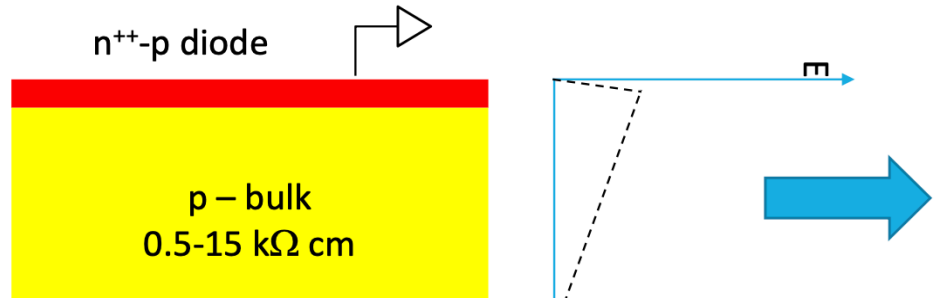


面临的问题: 事例堆积、强辐照环境

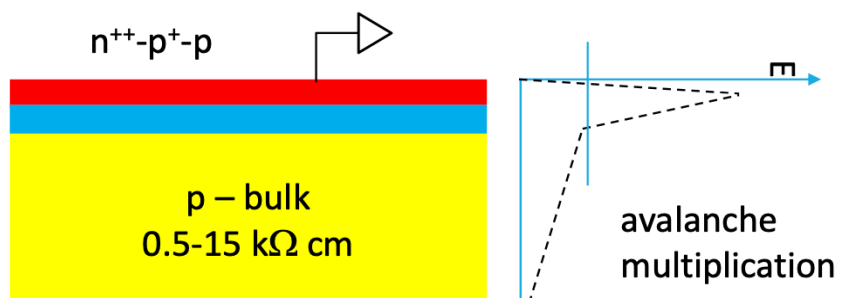


LGAD 时间性能提升

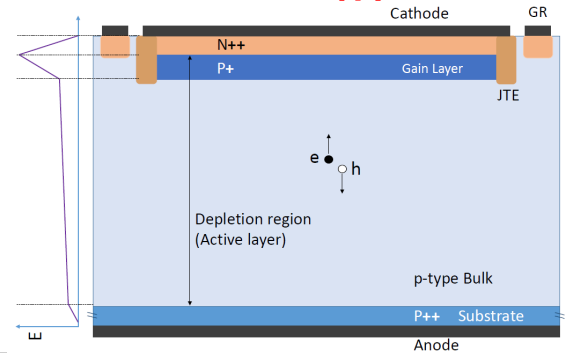
Conventional PIN diode



Low Gain Avalanche Diode LGAD: P+ gain layer on top of PIN diode



LGAD结构



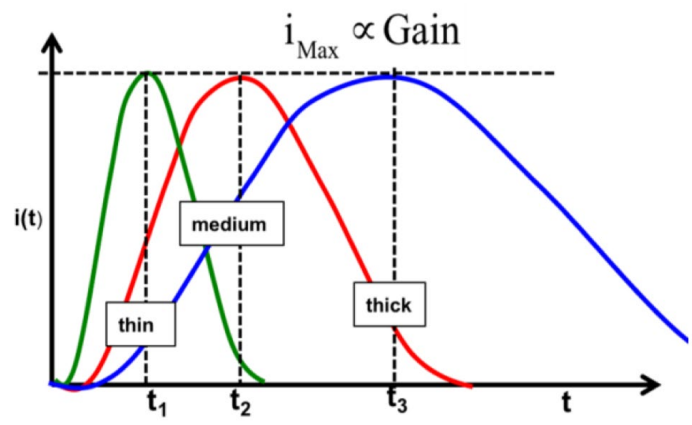
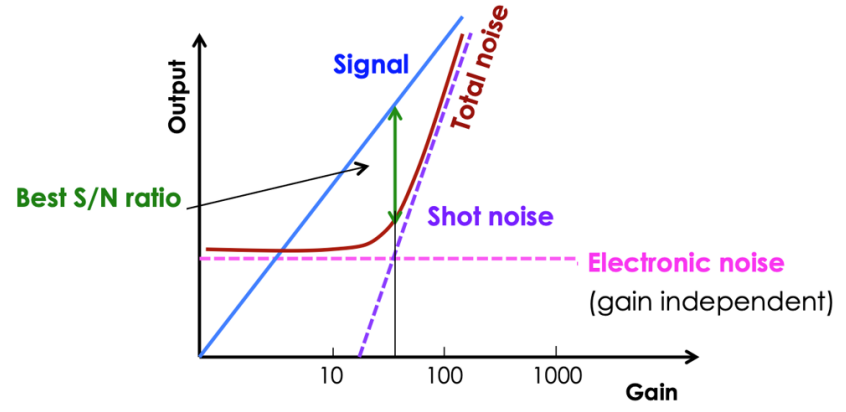
➤ Modest gain (10-50)

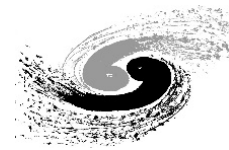
- Modest gain to increase S/N
- High S/N, no self-triggering

➤ Thin active layer

- Reduce Landau contribution caused by ionization
- High drift velocity and decrease t_{rise}

$$\sigma_{Jitter} = \frac{N}{dV/dt} \approx t_{rise} / \left(\frac{S}{N} \right)$$





- 近年来，全世界范围涌现出很多研制LGAD硅传感器的单位
 - 国内：IHEP-IME (高能所-微电子所), USTC-IME (科大-微电子所), IHEP-NDL(高能所-北师大)
 - 国际：滨松HPK (Japan), FBK (意大利), CNM (西班牙) ...
 - 高能所和科大分别独立设计传感器版图和工艺，在微电子所8寸晶圆工艺流片

ATLAS HPK-P2 (2020) Layout (Line Sensor) CMS

FBK-UFSD 3.2 (2020)

CNM-12916 (2019)

- ATLAS 5x5, 1.3 mm, IP 37
- ATLAS 5x5, 1.3 mm, IP 47
- ATLAS 5x5, 1.3 mm, IP 57
- LGAD Pad, 1.0 mm, IP 57
- LGAD Pad, 1.0 mm, IP 47
- LGAD Pad, 1.0 mm, IP 37
- PIN Pad, 1.0 mm, IP 37
- PIN Pad, 1.0 mm, IP 47
- PIN Pad, 1.0 mm, IP 57
- PIN Pad, 1.3 mm, IP 37
- PIN Pad, 1.3 mm, IP 47
- PIN Pad, 1.3 mm, IP 57
- LGAD Pad, 1.3 mm, IP 37
- LGAD Pad, 1.3 mm, IP 47
- LGAD Pad, 1.3 mm, IP 57
- ATLAS 2x2, 1.3 mm, IP 57
- ATLAS 2x2, 1.3 mm, IP 47
- ATLAS 2x2, 1.3 mm, IP 37
- ATLAS 2x2, 1.0 mm, IP 37
- ATLAS 2x2, 1.0 mm, IP 47
- ATLAS 2x2, 1.0 mm, IP 57

IHEP-IME-V2 run (07/2021) 8" 高能所-微电子所

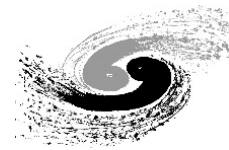
USTC-IME_2.x (2020) 科大-微电子所

NDLv4 (2021) 高能所 北师大

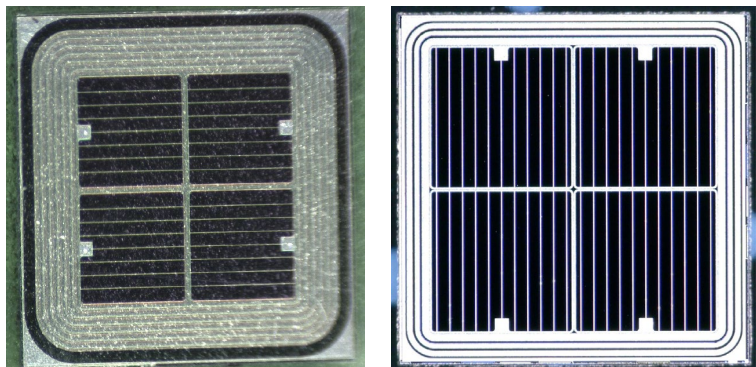
NDLv3 (2020)

PLANAR TECHNOLOGY – more vendors (e2V, BNL, Micron ...)

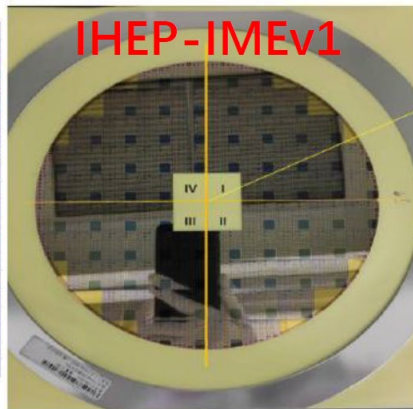
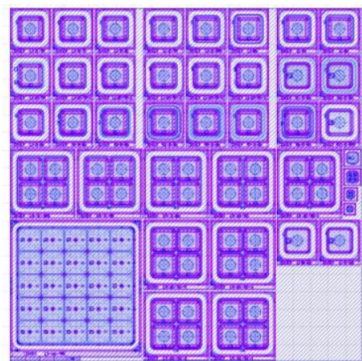
IHEP LGAD 研发时间线



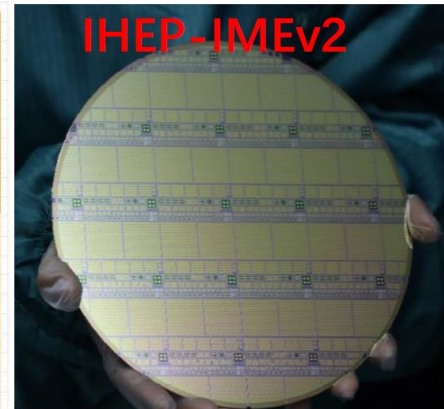
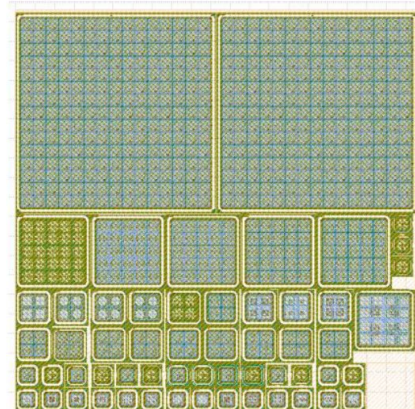
IHEP-NDL (2019)



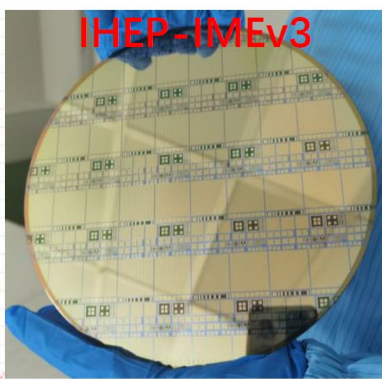
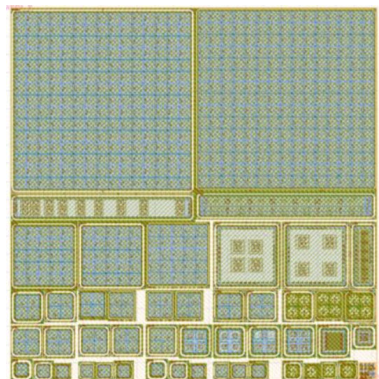
IHEP-IMEv1 (2020.9)



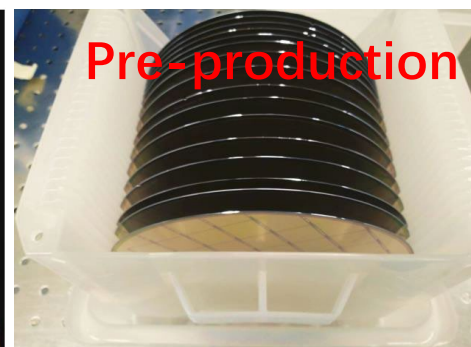
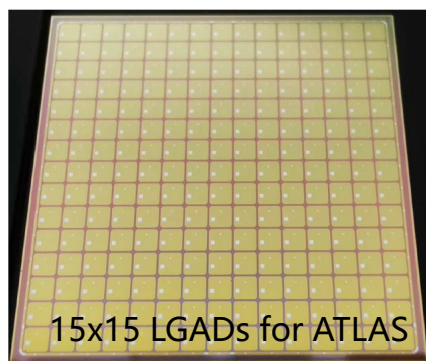
IHEP-IMEv2 (2021.6)



IHEP-IMEv3 (2022.5)



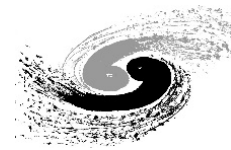
Pre-production for ATLAS (2023.7)



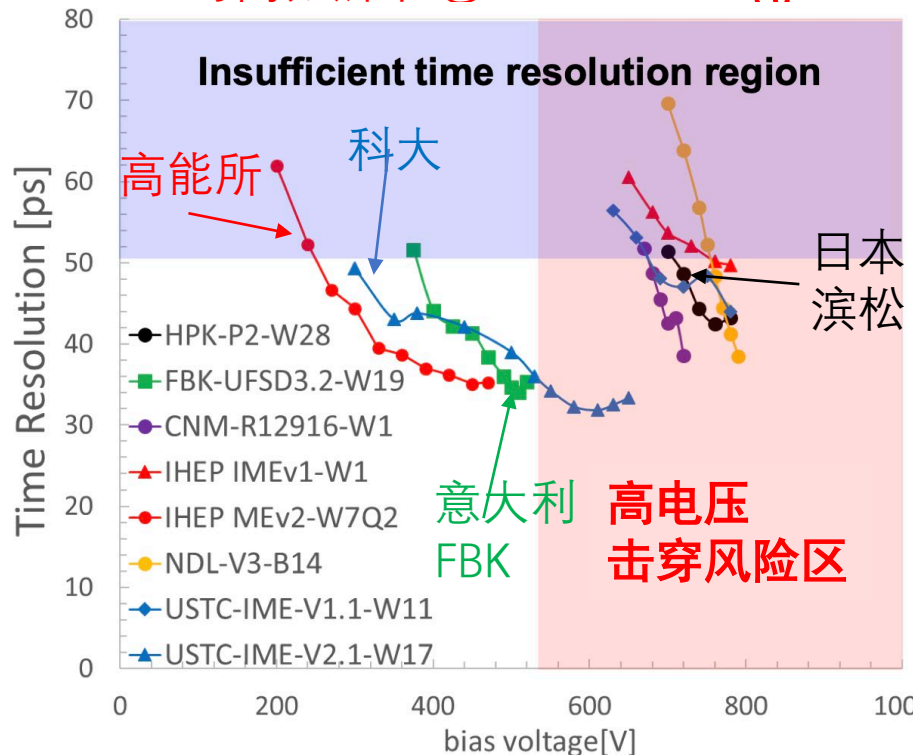
Mass production
(2024.7)

欧洲核子中心 (CERN) 首次采购中国产的半导体器件, 打破日本滨松垄断

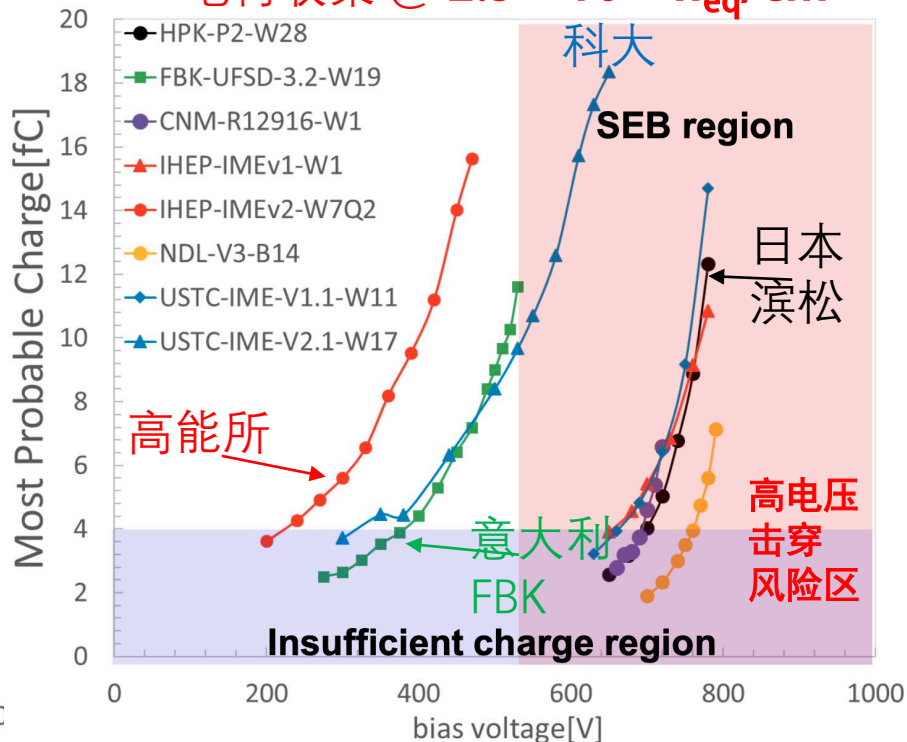
LGAD 抗辐照性能



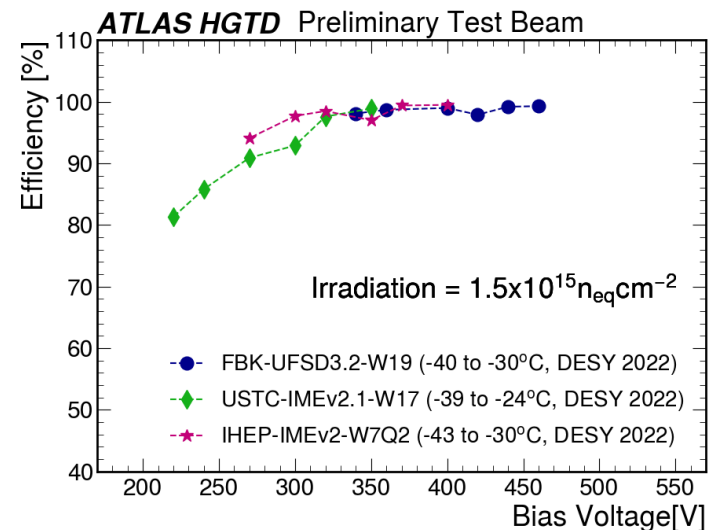
时间分辨率 @ $2.5 \times 10^{15} n_{eq}/cm^2$



电荷收集 @ $2.5 \times 10^{15} n_{eq}/cm^2$



探测器效率 > 99%
@ $2.5 \times 10^{15} n_{eq}/cm^2$

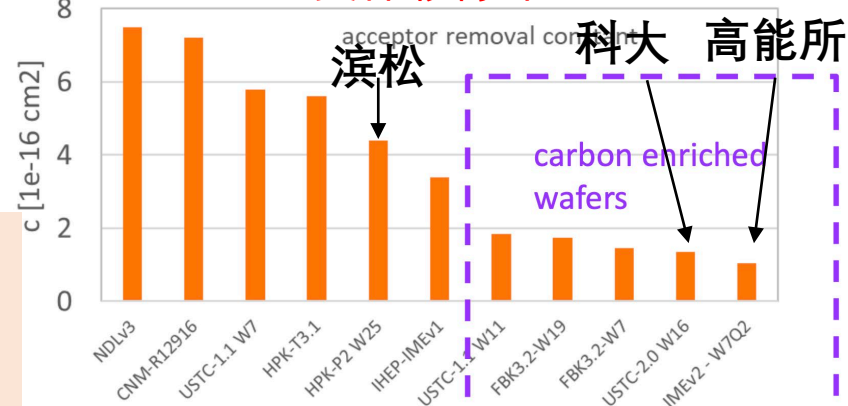


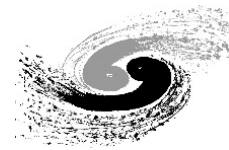
辐照后，部分硼掺杂失活，增益下降(受体移除)
高能所、科大等设计掺碳工艺增强LGAD抗辐照性能

- 显著减低辐照后损伤 (减低硼移除率)
- 抗辐照性能显著提高
- 目前抗辐照性能优于滨松

高能所、科大研发的LGAD传感器
目前移除率最低 $1-2 \times 10^{-16} cm^2$
(最佳抗辐照性能)

受体移除率 C

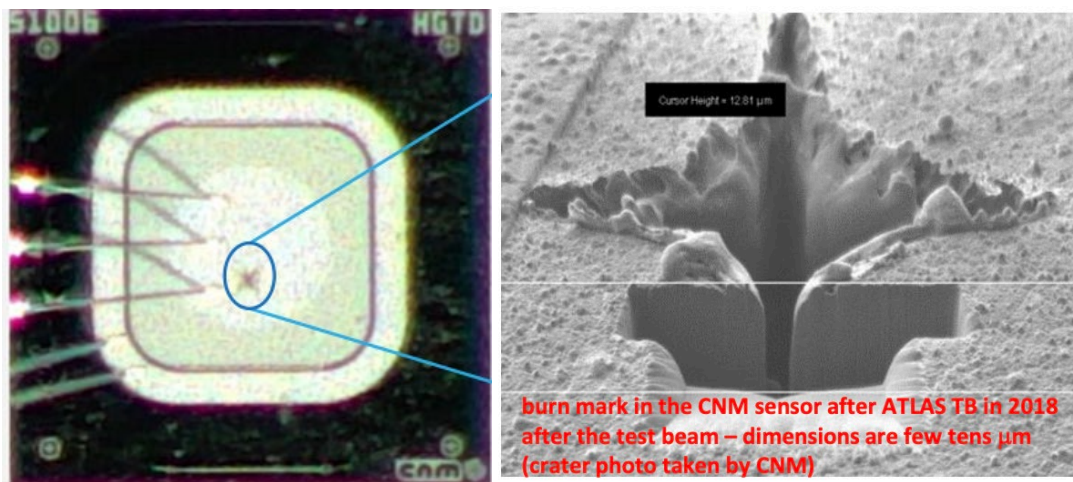




硅传感器的单粒子烧毁风险 Single Event Burnout (SEB)

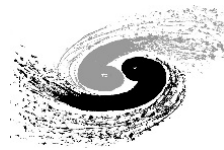
- RD50, CMS and ATLAS 合作组在2021年确认LGAD的单粒子烧毁风险
- 高电压与高电场导致烧毁，辐照后工作电压要控制到 $< 550\text{ V}$ (50微米的硅传感器)
- ATLAS合作组开展欧洲核子中心 (CERN) 的高能质子流测试
 - 辐照后，不掺碳的LGAD (滨松, 西班牙CNM) 烧毁率较高
 - 掺碳的LGAD基本能通过测试 (高能所, 中科大, 意大利FBK)
 - 高能所传感器辐照后, 8个样品全部通过测试, 无一烧毁

单粒子烧毁后LGAD (滨松/CNM)



CERN test beam: 120 GeV 质子束流

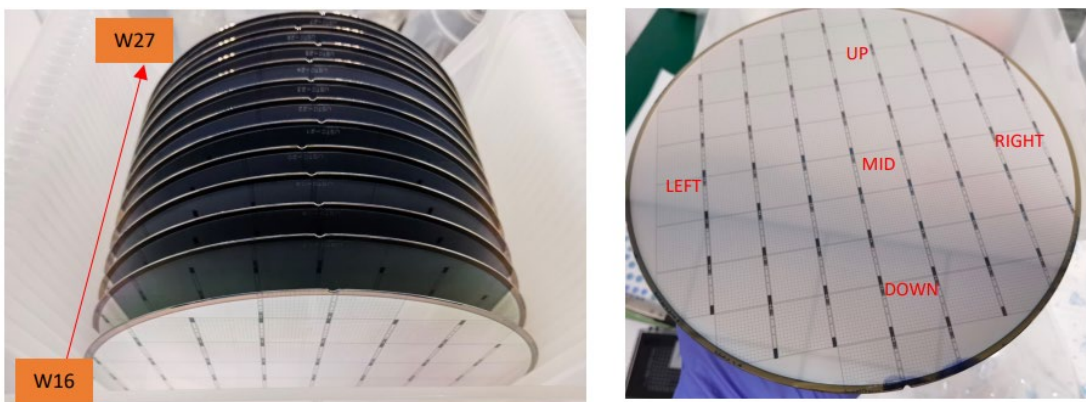




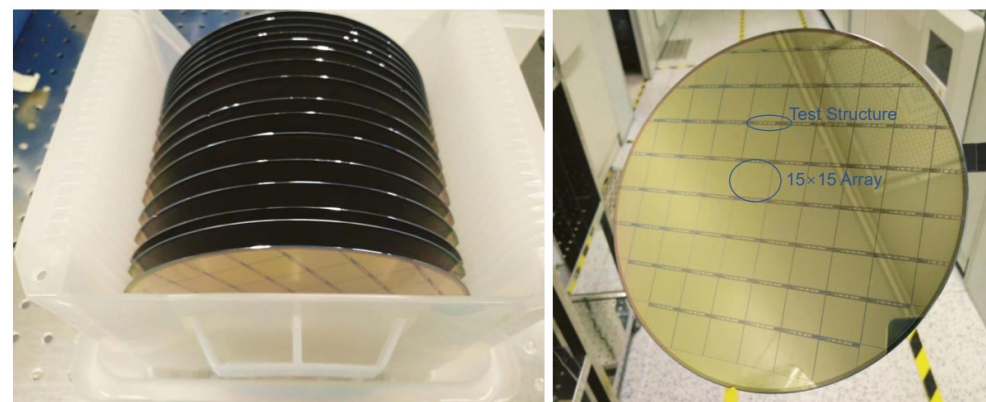
LGAD 探测器量产情况

- 2023年高能所-微电子所赢得CERN的LGAD全额招标订单 (>1.5万个LGAD)
 - 在日本滨松、意大利FBK等竞争下，高能所-微电子所赢下CERN招标
 - 欧洲核子中心（CERN）首次采购中国产的硅传感器
 - 象征着国产硅传感器国际地位显著提升
- 各单位在该项目LGAD传感器的贡献比重
 - 高能所-微电子所：90%（66% CERN采购+ 24%实物贡献）
 - 中科大-微电子所：10% 实物贡献

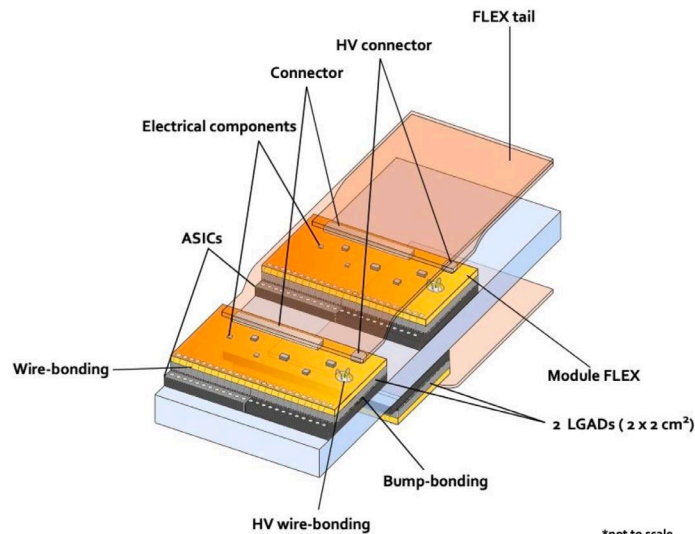
中科大-微电子所LGAD预生产



高能所-微电子所LGAD预生产

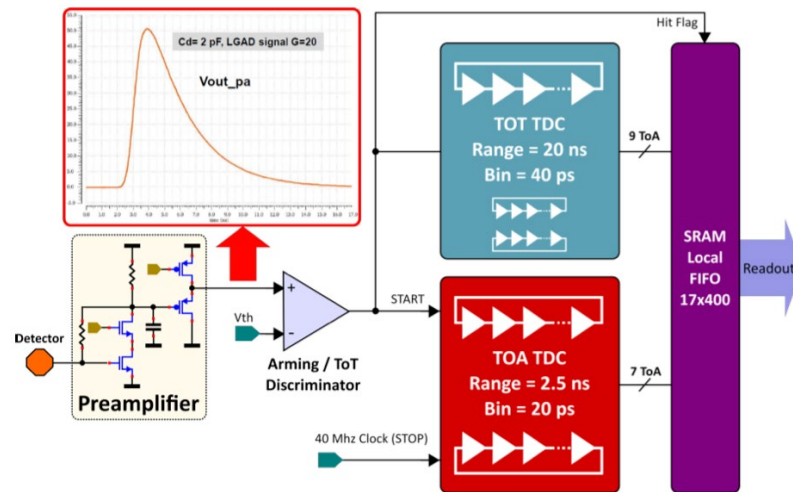


- 一个HGTD模块包含**两个 hybrid**和**一个 Flexible -PCB**
 - Hybrid: **15×15 LGAD + 15×15 ALTIROC ASIC**
- 每个ALTIROC 有**225 前端通道**, 每个通道有:
 - 前置放大器 + 甄别器+TDC*2
 - 两个TDC (Time to Digital Converter) 提供信号定时数据
 - Time of Arrival (TOA) : Range of 2.5 ns and a bin of 20 ps (7 bits)
 - Time Over Threshold (TOT) : range of 20 ns and a bin of 40 ps (9 bits)

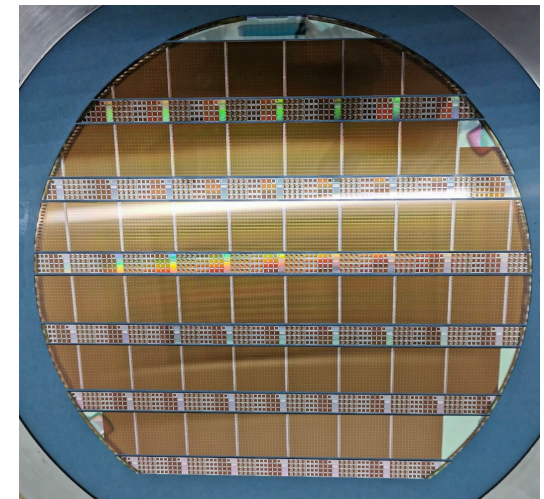


HGTD模块结构

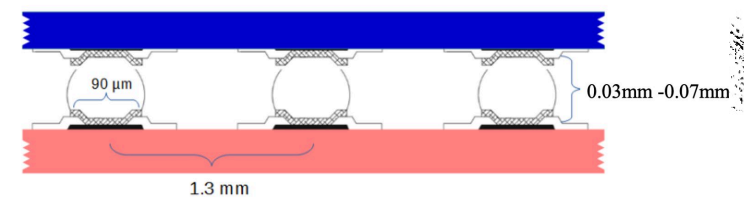
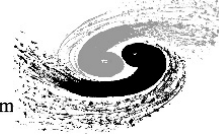
*not to scale



ALTIROC 单通道设计

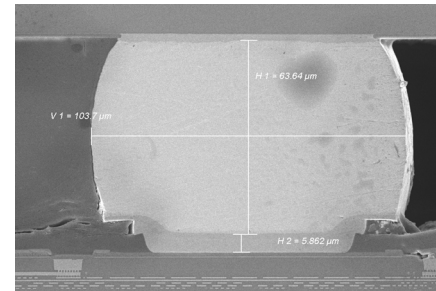


ALTIROC 晶元

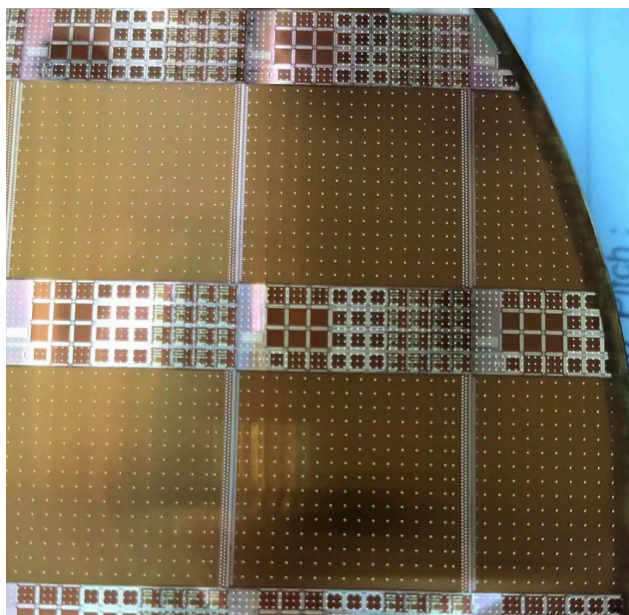


探测器模块：倒装焊封装

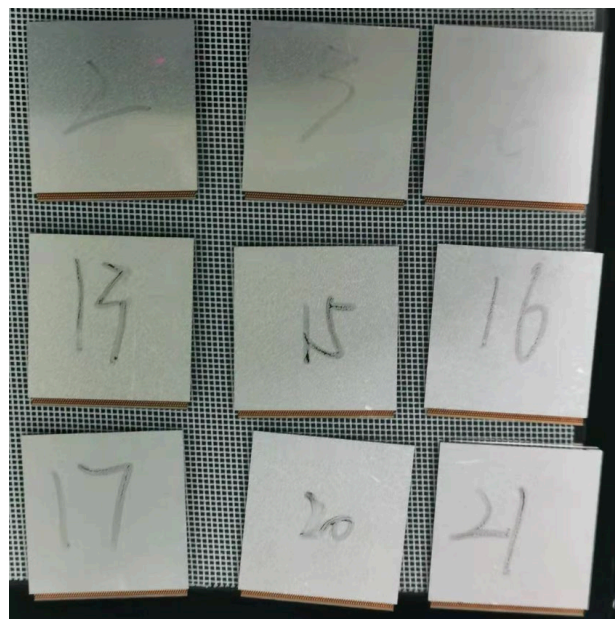
- 高能所承担项目中50%的倒装焊封装任务
- 高能所在国内已经研制出100+倒装焊模块
 - ALTIROC读出芯片 + 高能所-微电子所 LGAD



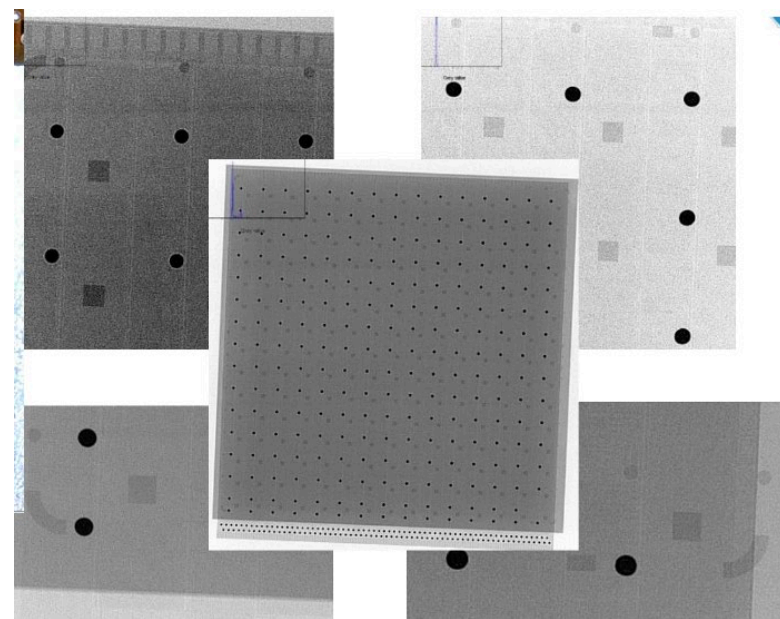
ALTIROC2 芯片晶圆植球

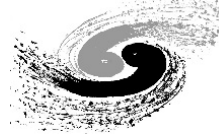


倒装焊模块后的模块



X-ray image of full-size hybrid



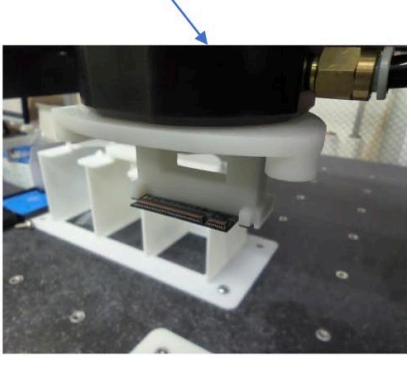


HGTD 探测器模块

- HGTD项目总共需要8032个探测器模块
- 6个模块组装生产中心
 - 高能所，科大，德国，法国，西班牙，摩洛哥
 - 高能所是最大的生产中心，组装34%的模块
 - 中科大承担11%的模块组装
- 高能所与国内公司研制国产自动组装系统
 - 有高分辨图像系统，做芯片图像识别
 - 自动芯片组装、点胶
 - 位置组装精度达到微米级

夹具工装和安装机器

pick-and-place machine

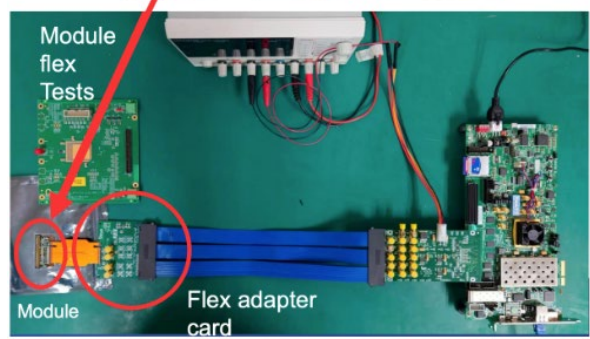
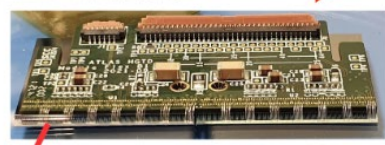
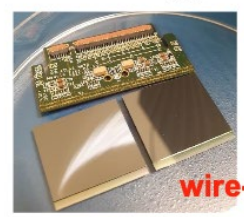
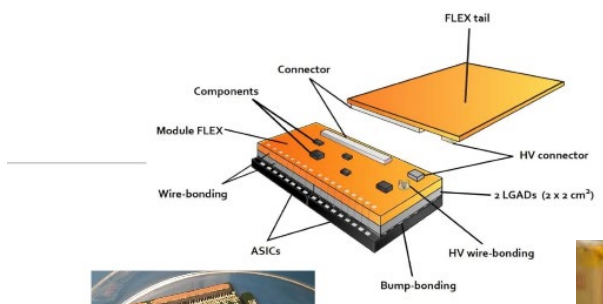


Picking tool

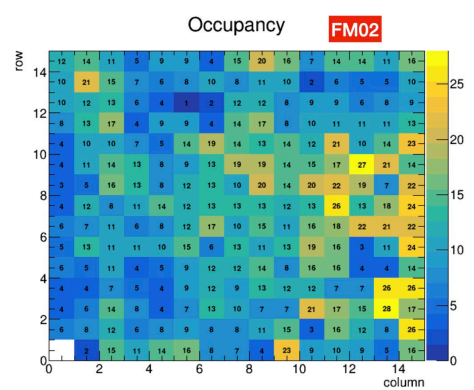
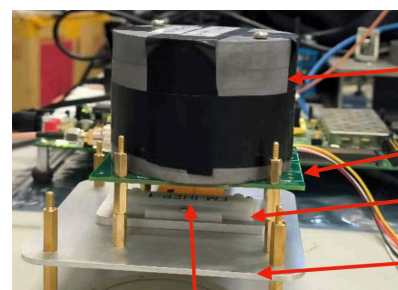
Picking dummy sensor

Placing dummy sensor

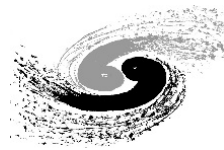
Picking flex



Sr-90 放射源测试



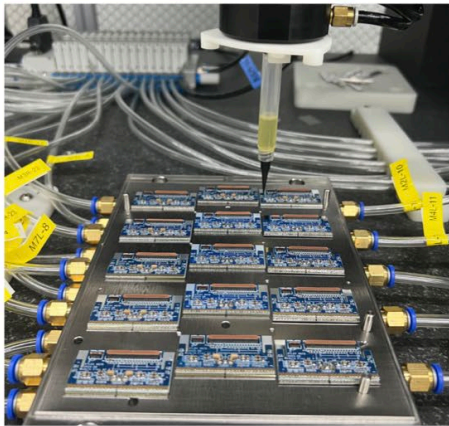
HGTD 探测器单元



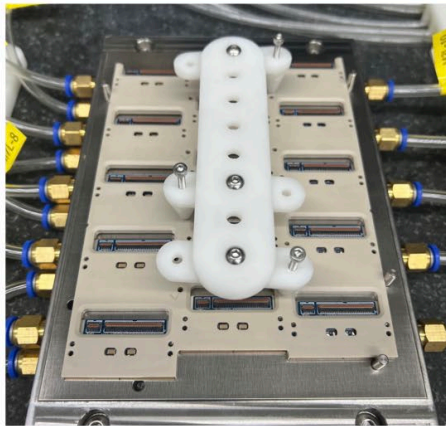
➤ 高能所为HDTD制造出第一个 ALTIROC3 + LGAD 探测器单元 (Detector Unit)

- Use Gantry system to position all **15 modules** and glue dispensing
- Delivered to CERN, and passed reception tests

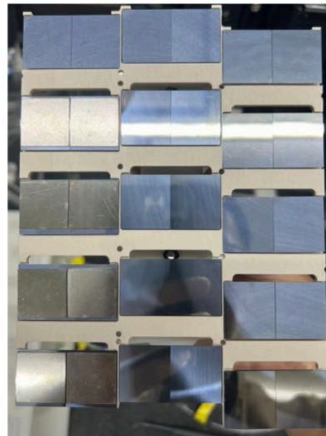
Dispensing with GluingTool



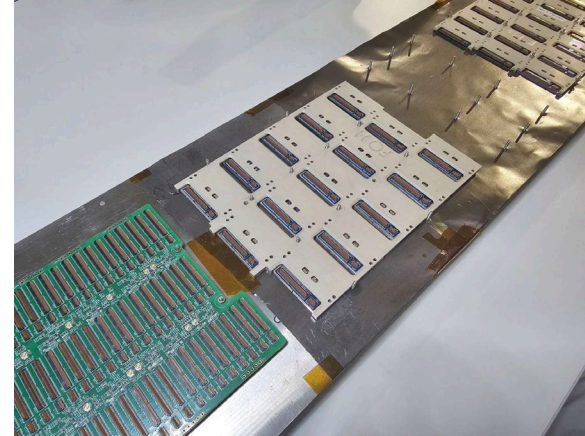
Put the support unit



Backside view after removal



Detector unit shipped to CERN

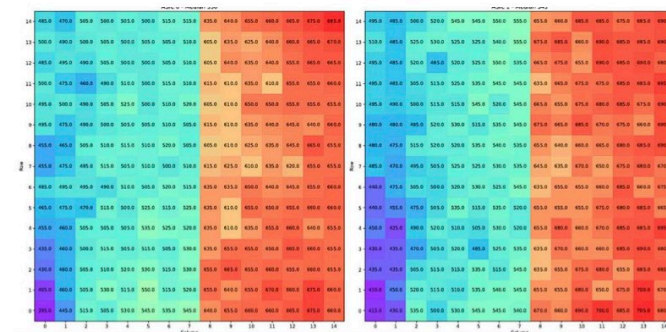


➤ 首次在系统级演示探测器单元操作与运行 (外围电子学板PEB + 3*DU)

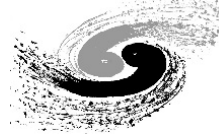


HV, LV, Cooling plate prototype

Electronics : PEB 1F + flex tails + 54 modules mounted on 4 support units (detector unit)



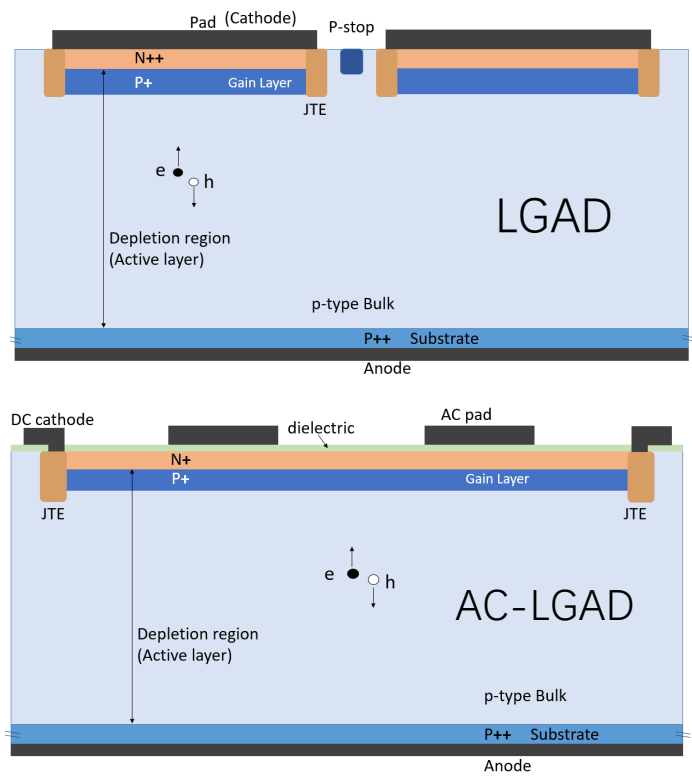
Module threshold scan obtained in demonstrator test



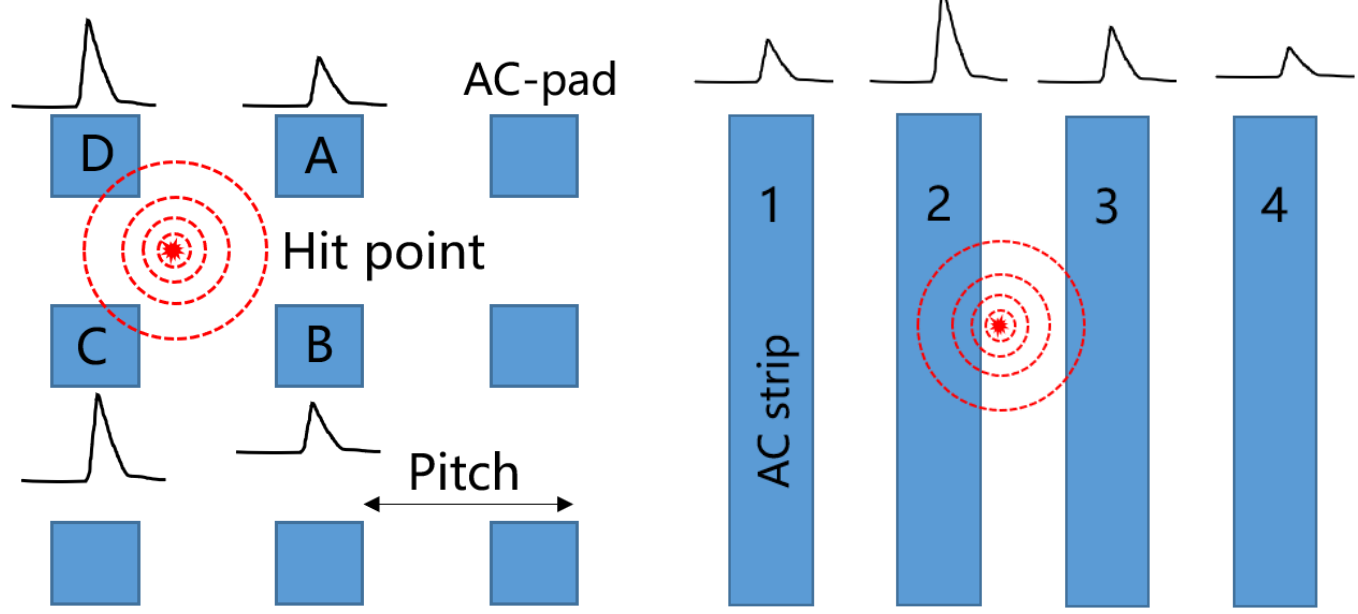
2. LGAD for Future Collider

AC-LGAD 简介

LGAD vs. AC-LGAD



AC-LGAD: two layout schemes for AC-pads



- **LGAD:** The read-out electronics is connected to n++ layer
 - **Dead zone :** JTE、P-stop
- **AC-LGAD:** Metal AC-pads separated from the n+ layer by a thin dielectric (Si₃N₄, SiO₂)
 - **No dead zone (100 % fill factor)**
 - **Time resolution ~30 ps, spatial resolution ~10 μm**

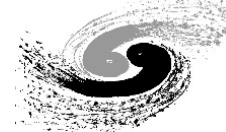
Pixels AC-LGAD:

- **Position information: 1 layer (x,y)**
- **Bump bonding**

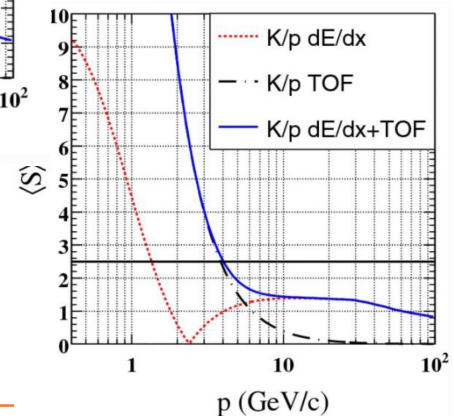
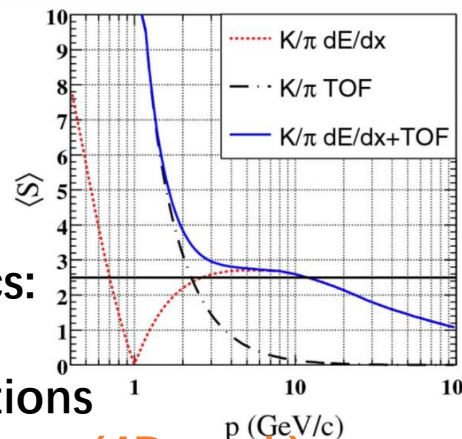
Strips AC-LGAD:

- **Lower readout density, no bump bonding**
- **Position information: 2 layers for (x,y)**

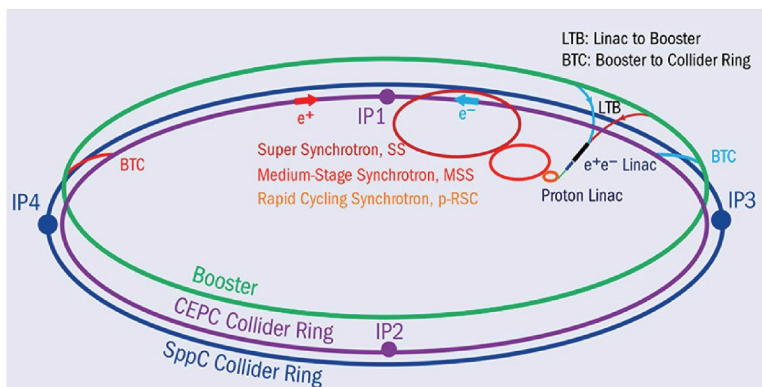
AC-LGAD研发背景



- **CEPC will produce 10^{12} Z boson at Z pole: Rich flavor physics**
- Particle separation problems of Gas detector (dE/dx) for flavor physics:
 - **0.5-2 GeV for K/pi separation, >1.5 GeV for K/p separation**
- CEPC International Advisory Committee: one of the key recommendations
 - Precision timing detector should be determined as a matter of urgency (4D track)**
- Timing detector is complementary to gas detector: improves the separation ability
 - 0 - 4 GeV for K/pi separation, 0 - 8 GeV for K/p separation**

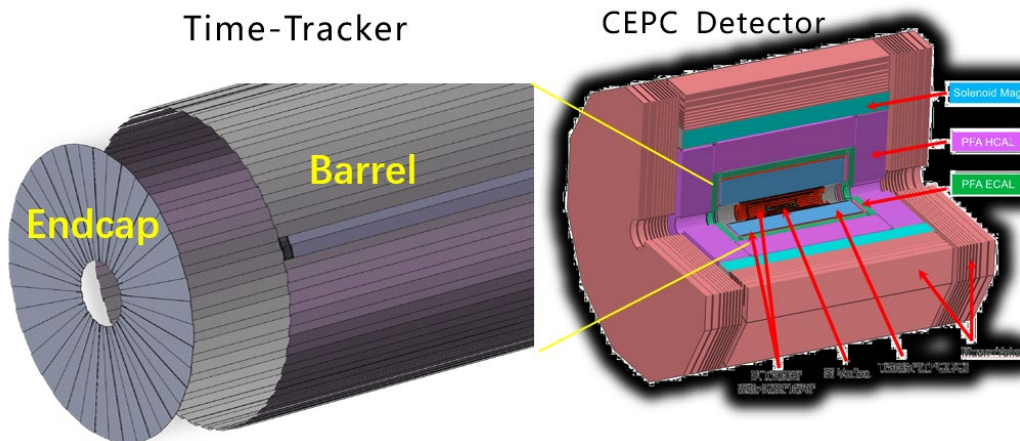


电子对撞机实验

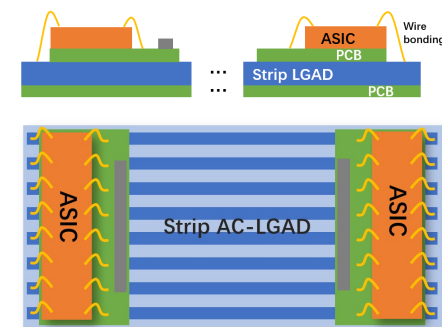


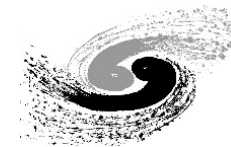
CEPC circumference 100 Km

时间-径迹探测器设计

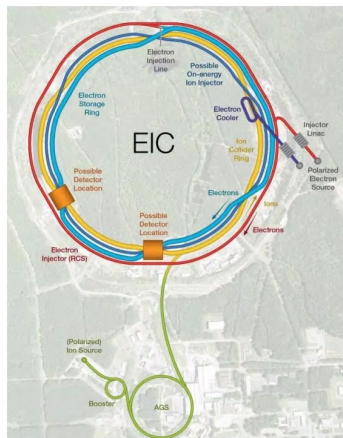


探测器模块设计

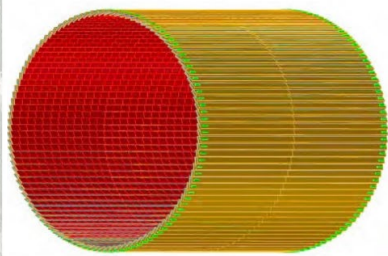




Electron-Ion Collider (EIC): Timing-tracker

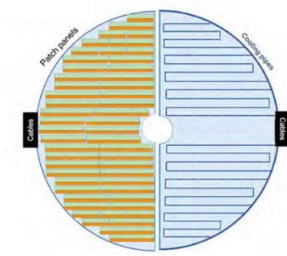


Barrel AC-LGAD detector



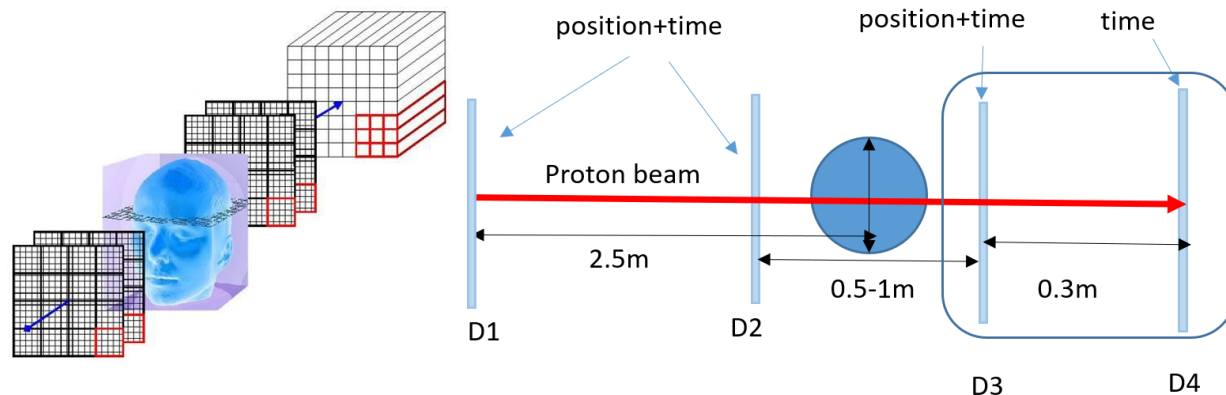
10.9 m²

Hadron endcap AC-LGAD detector

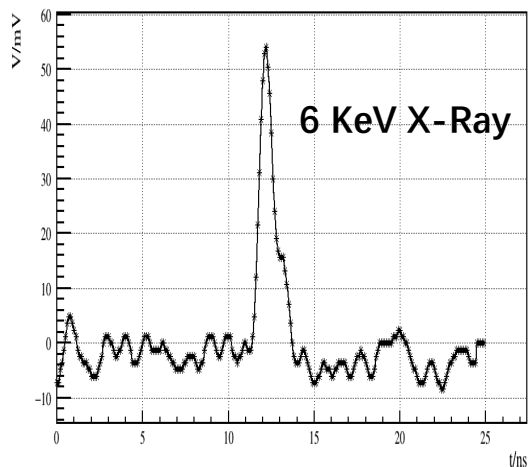


2.22 m²

Nuclear Medicine Instruments: Such as proton therapy and proton CT



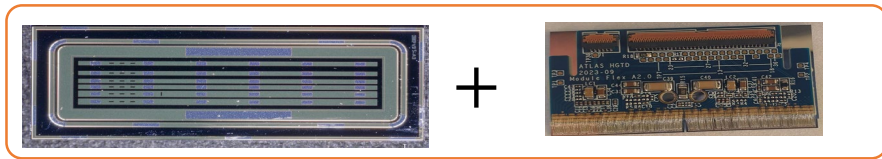
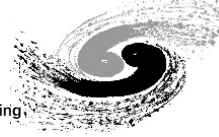
X-ray detectors @ advanced photon sources



other applications

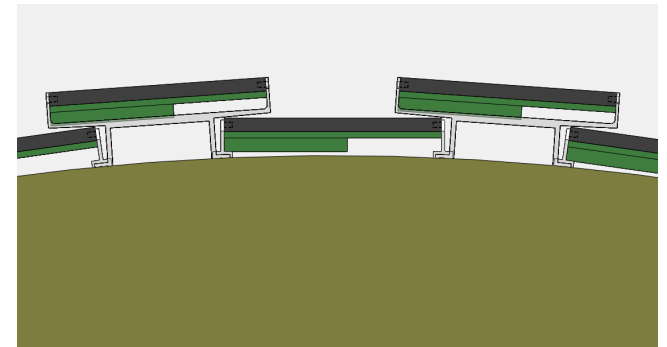
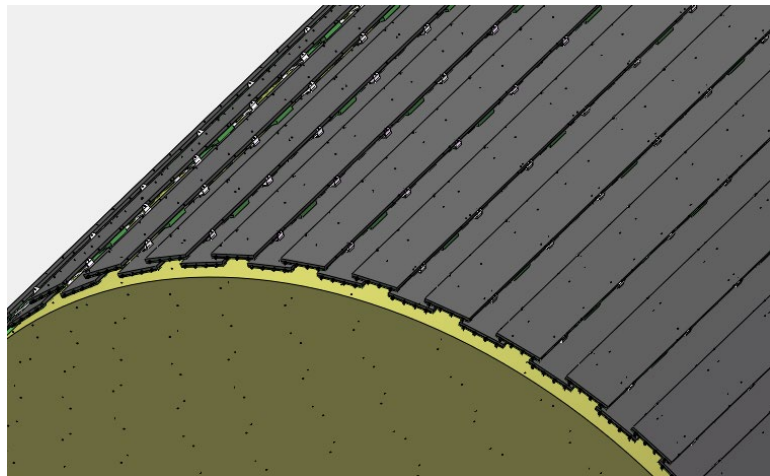
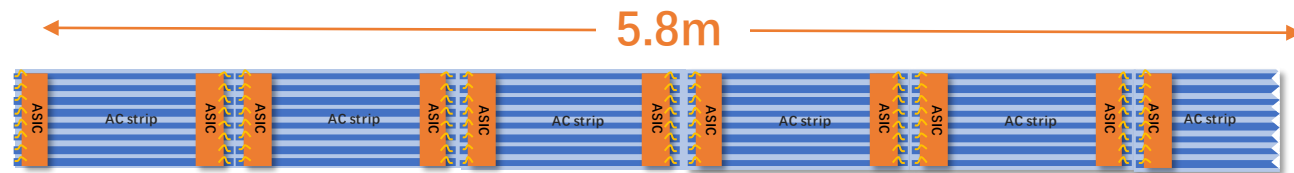
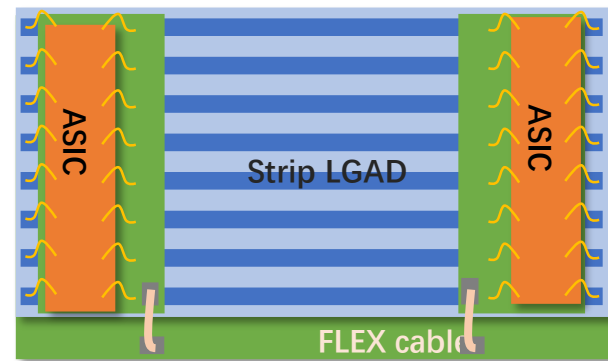
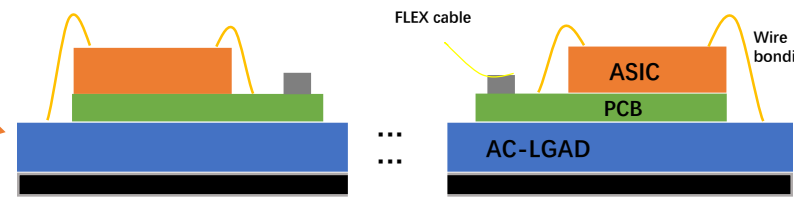
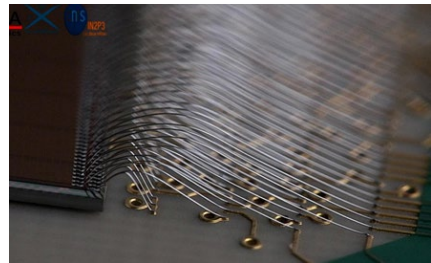
- Beam Telescope for Beam Test Platform
- LiDAR: Positioning and Navigation
- Track and time detectors in other particle physics and nuclear physics experiments
- ...

Time-tracker 桶部初步设计



Strip AC-LGAD + ASIC :

- TOT->amplitude/charge sharing->position
- TOA+TOT->timing (T-A correction)

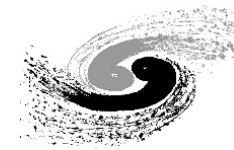


Preliminary Barrel Design

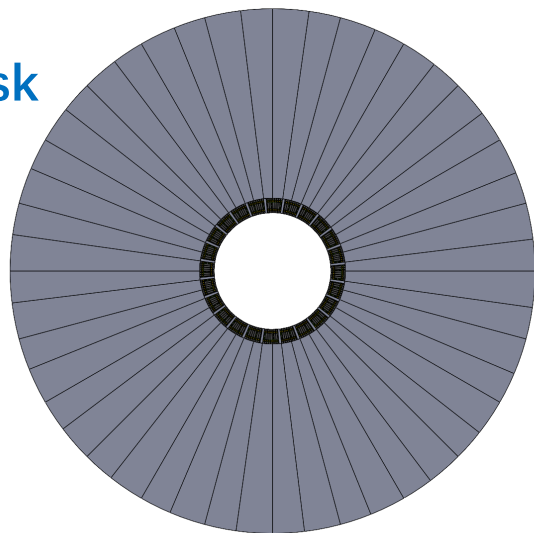
Time-Tracker Barrel Parameters	
Area (m ²)	~ 70 m ²
Radius	1.8m
Length	5.8m
Granularity	70mm × 0.1mm
Channel number	~ 1×10 ⁷ channels
MIP Time resolution	~50 ps
Spatial resolution	~ 10 μm (R-Φ) ~ 1 mm (R-Z direction)

PRELIMINARY

Time-tracker 桶部初步设计

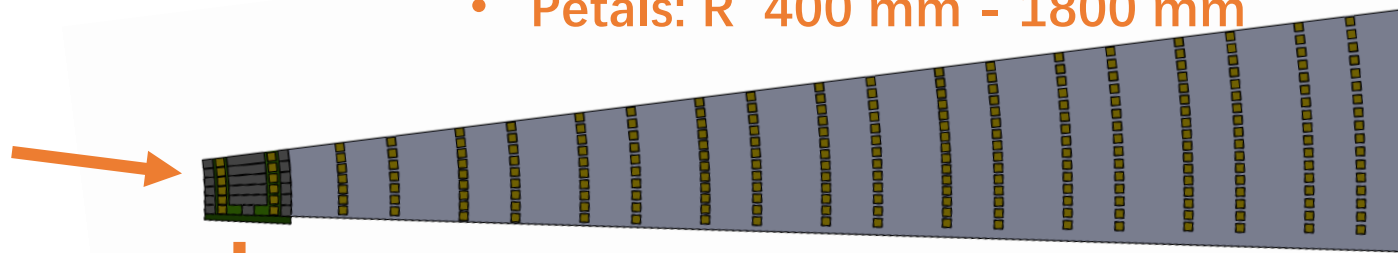


Disk

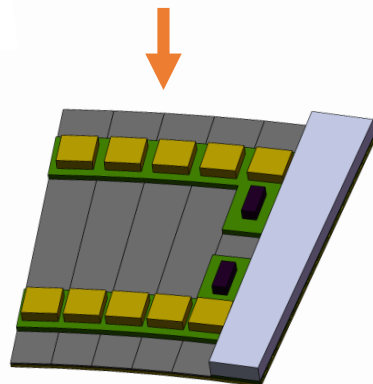
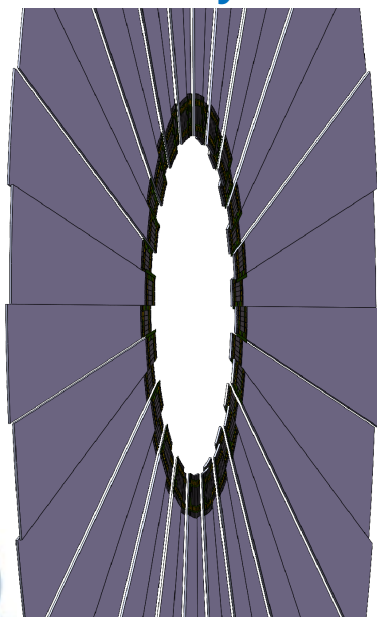


➤ Double layers to reduce the dead area

- 24 petals/layer
- Petals: R 400 mm - 1800 mm

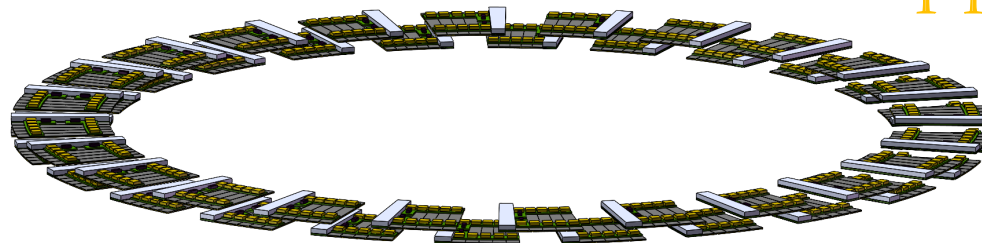


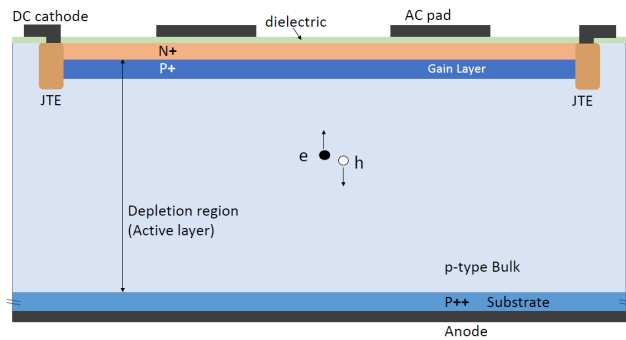
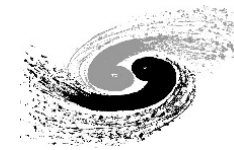
Double layer overlap



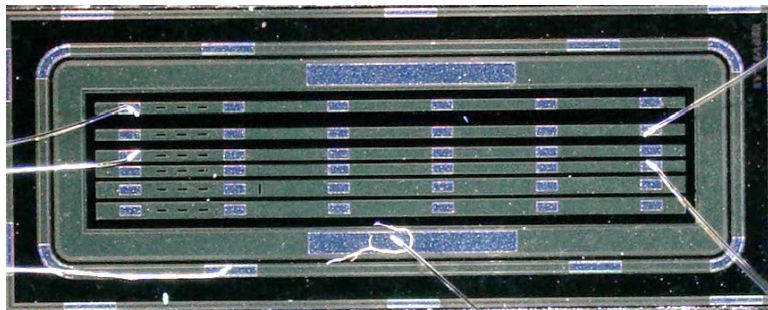
Time-Tracker	End-Cap Parameters
Area (m ²)	~ 9.7 m ²
Radius	0.4-1.8m
Granularity	140mm × 0.1mm
Channel number	~ 1×10 ⁶ channels
MIP Time resolution	~50 ps
Spatial resolution	~ 10 μm (Φ) ~ 1 mm (R direction)

PRELIMINARY

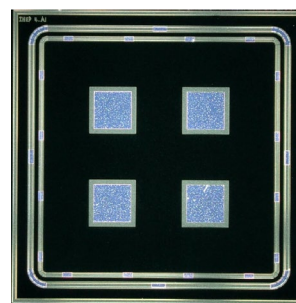




AC-coupled LGAD



Strips AC-LGAD



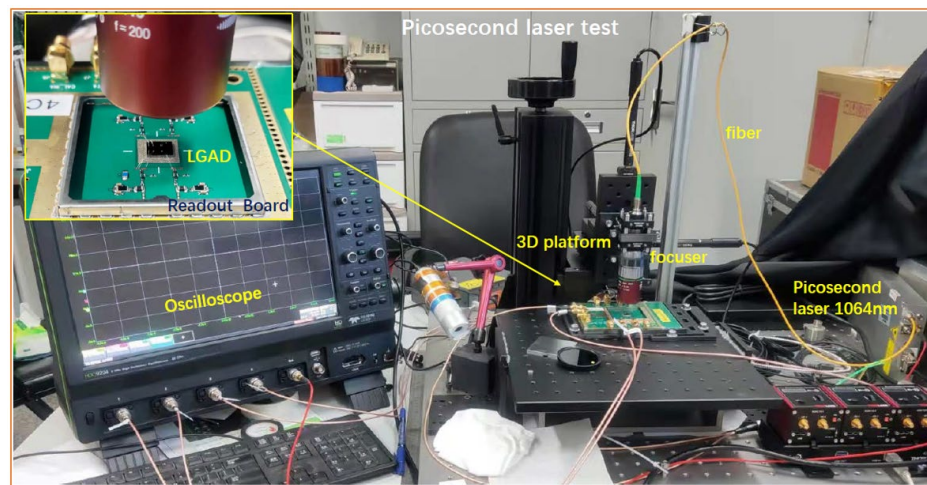
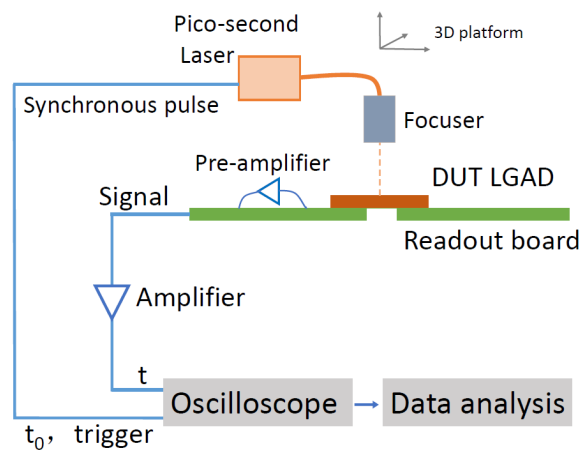
Pixels AC-LGAD

Pixels AC-LGAD:

- Pitch size 2000um
- pad size 1000um

Strips AC-LGAD:

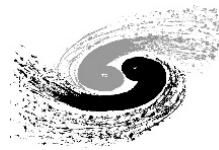
- Strip length 5.6mm,
- Different Pitch size:
 - 150um、200um、250um



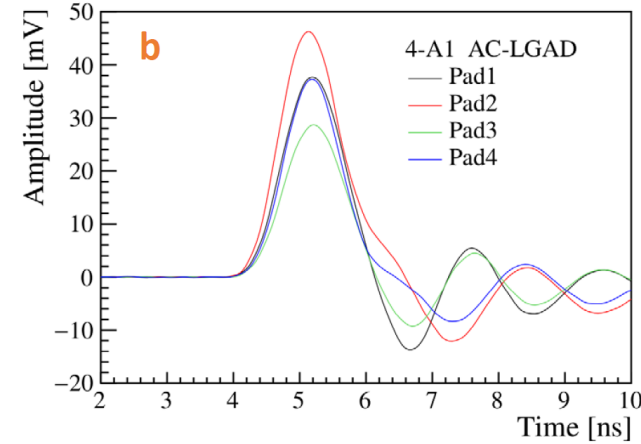
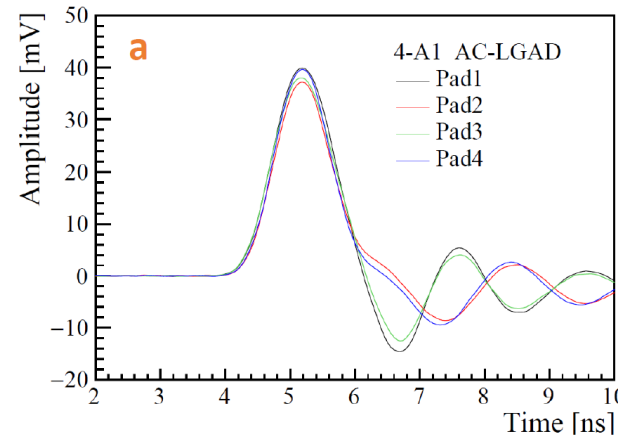
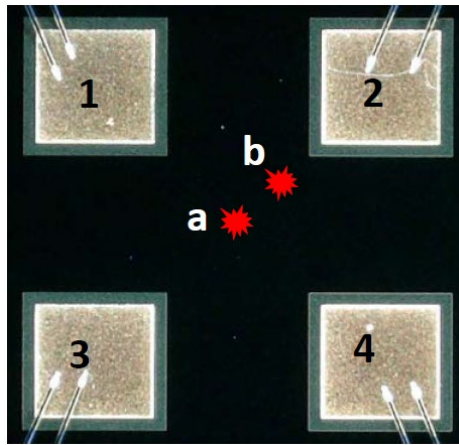
Picosecond laser scanning system

Picosecond laser scanning system

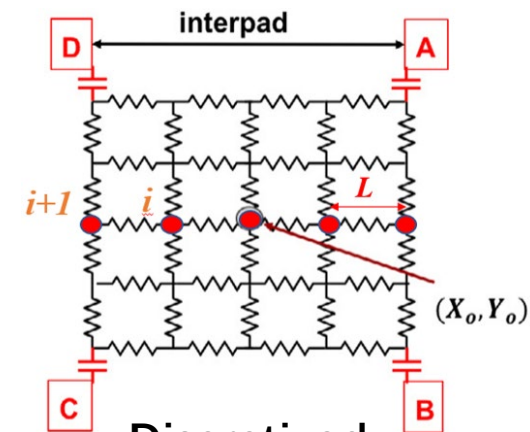
- Displacement accuracy 1 μm
- Automated scanning
- Picosecond laser 1064nm
- Spot size 2~5 μm



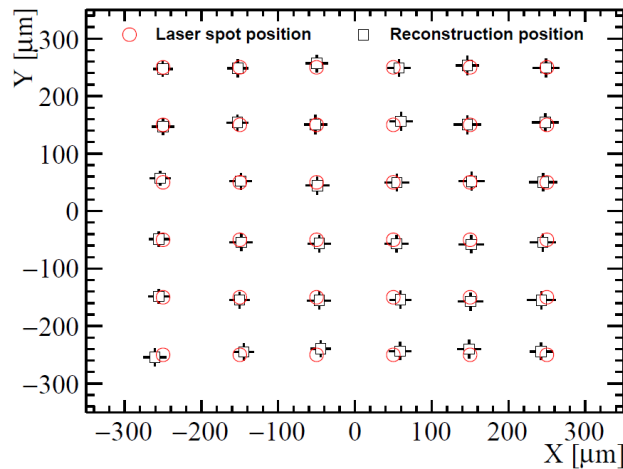
Performance of pixel-AC-LGAD



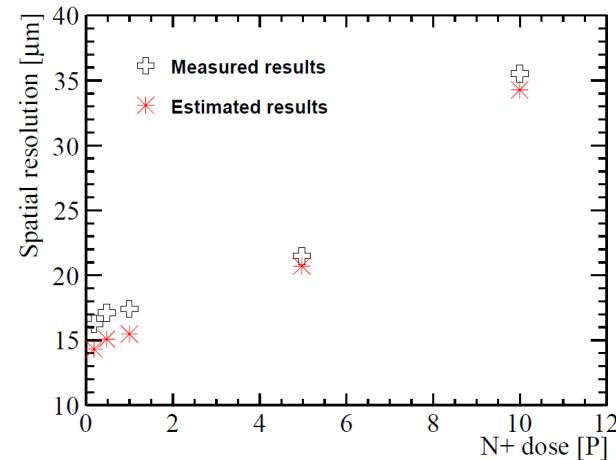
Signal Waveforms @ hit a and b



Discretized Positioning Circuit model (DPC)



Reconstructed 6x6 positions



Spatial resolution Vs. N+ dose

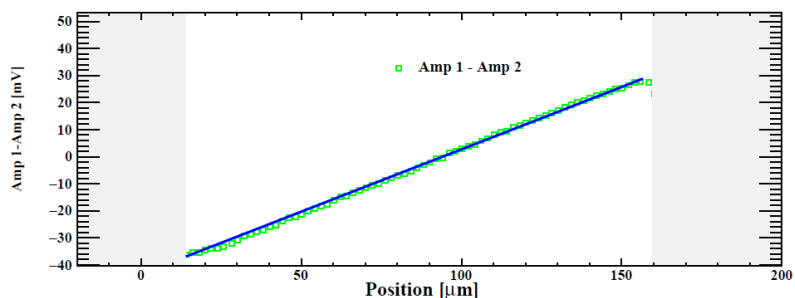
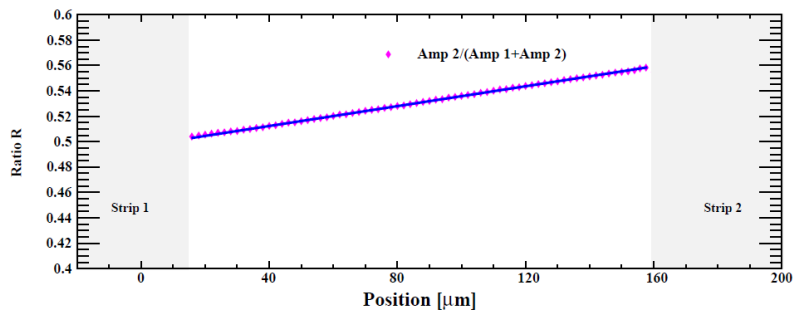
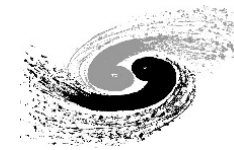
Spatial resolution :

- the sigma of the difference between the laser and the reconstructed position

$$\sigma_{spatial} = \sigma_{reconstruction-laser}$$

Lower N + dose has higher resistivity and larger attenuation factor, -> better spatial resolution

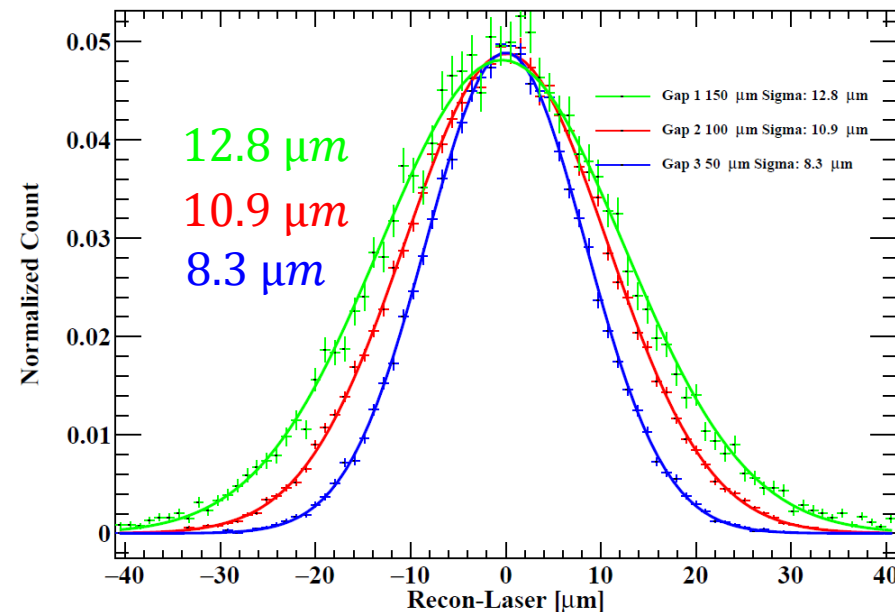
Performance of strip-AC-LGAD



reconstructed position

$$R = \frac{Amp_2}{Amp_1 + Amp_2}$$

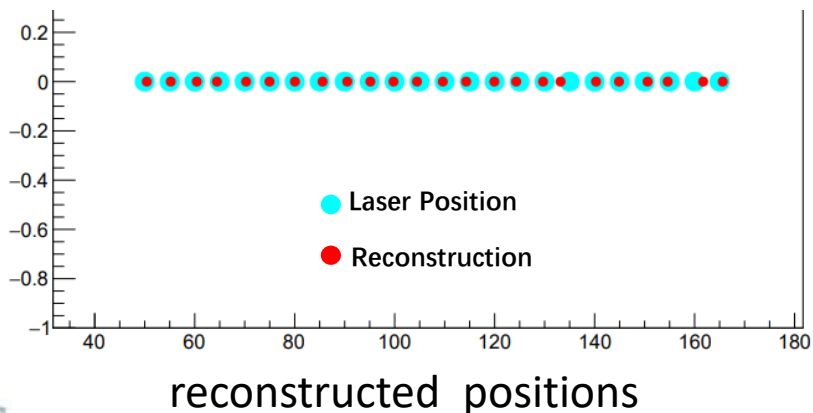
$$x = \frac{R - c}{k_R}$$



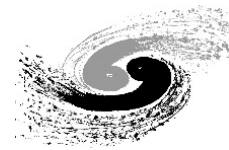
Position reconstruction:

- The fraction of the signal (R) changes linearly with the movement of the laser.
- Good consistency between the reconstruction position and the laser position
- The smaller the pitch size, the better the spatial resolution

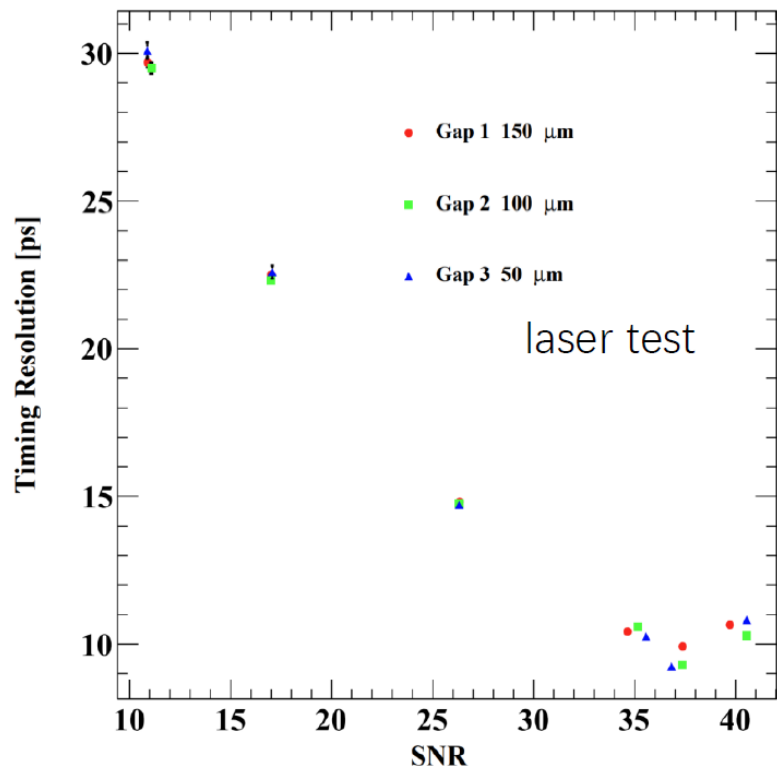
Spatial resolution : 8.3 μm @ 150 μm pitch



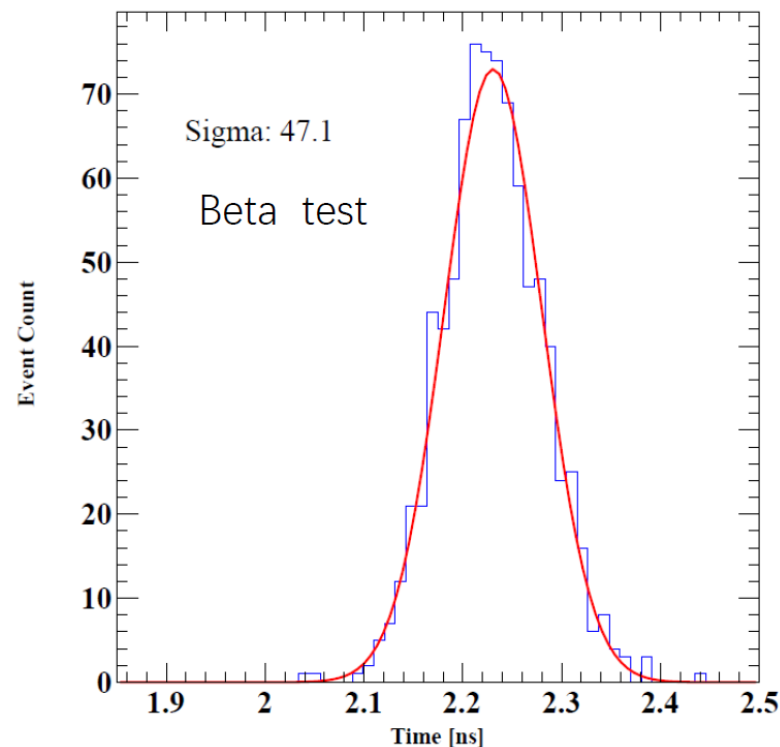
Performance of strip-AC-LGAD



Jitter tested by laser



Time resolution tested by beta source



Timing resolution of Trigger

$$\Delta T = T_{trigger} - \frac{\sum_i a_i^2 T_i}{\sum_i a_i^2}$$

Timing resolution

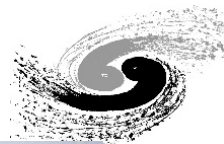
Weighted timing resolution of three strip electrodes

Sigma Δt = 47.1 ps

Sigma AC-strip : 37.5 ps

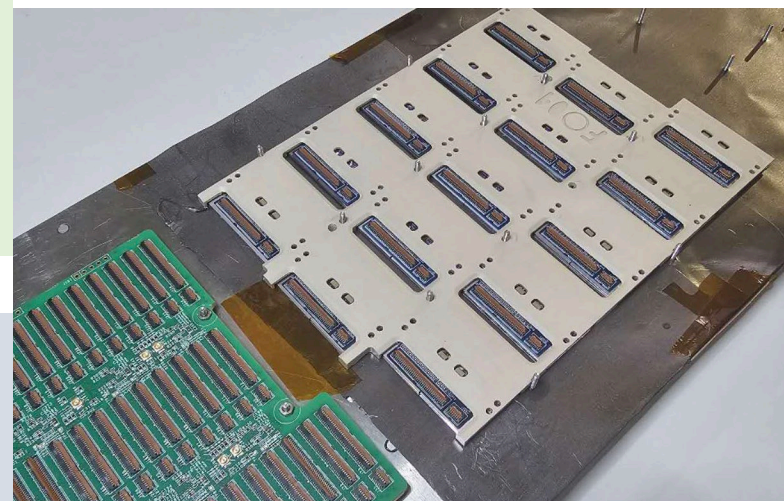
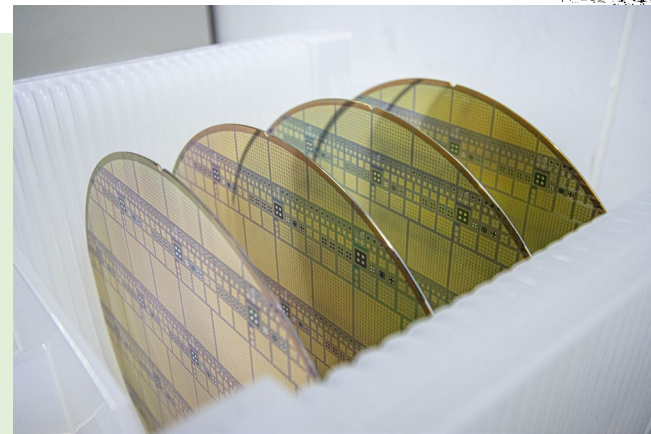
- No significant change in timing resolution was observed among different pitches
- Timing resolution improves as increasing in SNR, same trend as in spatial resolution
- **Timing resolution 37.5 ps (Beta source test).**

$$\sigma_t^2 = \sigma_{TimeWalk}^2 + \sigma_{Landau}^2 + \sigma_{Jitter}^2$$



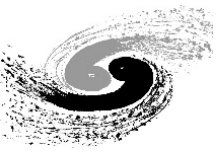
中国组在ATLAS HGTD 项目中占主导地位

- 高能所、科大自主研制国产超快 LGAD 探测器，获得重大进展
 - 高能所赢得欧洲核子中心（CERN）国际招标采购的订单
 - 中国组负责全部的LGAD器件生产
 - 高能所-微电子所：90%（66% CERN采购+ 24%实物贡献）
 - 中科大-微电子所：10% 实物贡献
 - 象征着国产硅传感器国际地位显著提升
- 探测器模块：高能所、科大将组装~4000个模块，占项目45%
- 外围电路：高能所、南大主导了外围电路板的设计与研制工作
- 2024年7月开始LGAD器件的量产



AC-LGAD：新型的4D探测器（时间+径迹）：Pixel, Strip

- 基于strip AC-LGAD 的时间径迹探测器是CEPC的基准方案
- 目前高能所研制的strip AC-LGAD 空间分辨率约 $8 \mu\text{m}$ ，时间分辨率37ps
- AC-LGAD技术也被美国EIC实验选择用于时间-径迹探测器的建造
- IHEP AC-LGAD 研究规划：工艺优化、更长 strip、先进重建算法、集成前放...



谢谢